

根谷調査工事株式会社 ○原 勝重
東京大学生産技術研究所 龍岡 文夫

1. はじめに

図-1に示すように水平粘性土地盤に盛土して場合に、すべり面底部で用いるべき非排水せん断強度を直接求めるここと、また、同一応力状態で圧密して供試体について三軸圧縮・伸張試験を行って得られる非排水せん断強度と比較する資料を得ることなどを目的として中空円筒状供試体を用いて非排水わじりせん断試験を行ったのでその結果について報告する。なお、本試験に使用した試料は東京湾海底地盤から採取して乱さない粘土である。

2. 試験方法

試料: 本試験に使用した試料は、東京湾海底地盤からシングルサンプラーで採取した乱さない粘土である。試験を行ひ、試料の採取深度を表-1に示した。

供試体: 内径75mmのシングルサンプラーで採取した試料を用いて都合上、供試体は、外径7cm、内径3cm、高さ10cmの中空供試体とした。図-2に供試体を三軸セルにセットして様子および供試体の応力状態を示した。供試体は、原位置の有効土被り圧(σ_{v_0}')で異方圧密($\sigma_{a_c}' = \sigma_{v_0}'$, $\sigma_{r_c}' = 0.5\sigma_{v_0}'$)した後、非排水せん断を行つた。各供試体の圧密応力は表-1に示してある。供試体の作成方法については文献(1)参照。

わじりせん断の載荷方法: 原位置の有効土被り圧で圧密して供試体を非排水状態にし、かつ高さを一定として等体積条件とするこことにより「一定の供試体断面積」を保ちつつ、せん断ひずみ速度 $\dot{\gamma}_{at} = 0.15\%/\text{min}$ でせん断を行つた。三軸セル内には、軸方向カヒトルクの同時測定が可能な二方向ロードセルを設置した。

また、せん断応力のメンブレンカに対する補正⁽³⁾を行つた。

3. 試験結果

図-3にS-12(深度12.0~12.9m)のわじりせん断試験結果の応力ひずみ曲線と有効応力経路を示した。図-3(a)中の破線は、メンブレンカの補正を行つていない値であり、メンブレンカを補正した値(実線)と比較するヒメンブレンカが無視出来ない量であることがわかる。

わじりせん断試験(TSS)から得られたPeak時あるいはせん断ひずみ $\dot{\gamma}_{at}$ ($\approx \epsilon_1 - \epsilon_3$) = 22.5%時のせん断応力(σ_{at})_{max}と三軸圧縮・伸張試験から表-1、試料採取深度と供試体の圧密応力

Sample No.	Depth z (m)	Specimen No.	Consolidation condition	
			σ_{a_c}' (kgf/cm ²)	σ_{r_c}' (kgf/cm ²)
S - 6	6.0 ~ 6.9	S-6-4	0.24	0.12
S - 8	8.0 ~ 8.9	S-8-6	0.28	0.14
S - 10	10.0 ~ 10.9	S-10-4	0.369	0.18
		S-12-1	0.429	0.21
S - 12	12.0 ~ 12.9	S-12-5	0.823	0.42
		S-21-4	0.919	0.45
S - 21	21.0 ~ 21.9	S-21-5	1.806	0.90

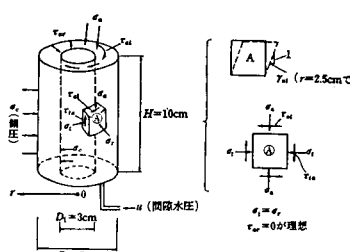


図-1. すべり面底部での圧密・せん断条件の模式図

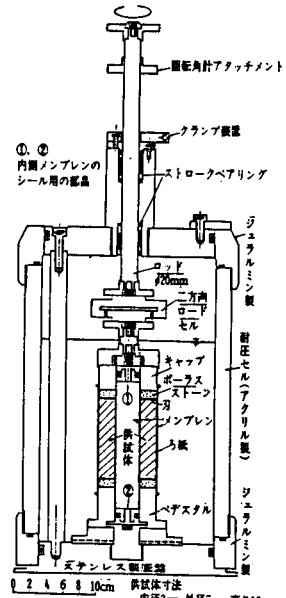


図-2. 三軸セルおよび供試体の応力状態

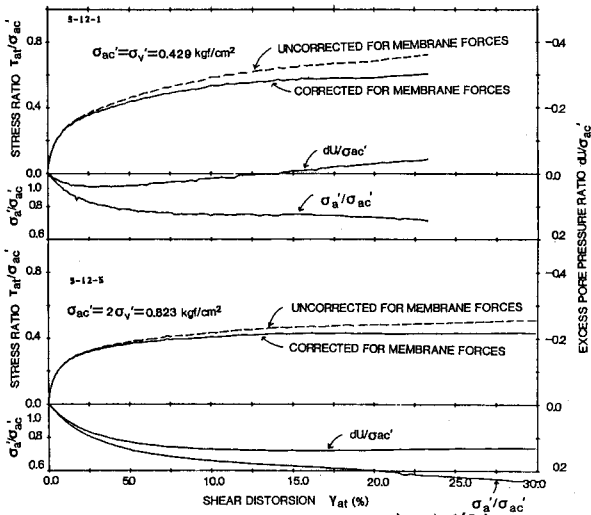


図-3(a) 試験結果(応力ひずみ曲線)

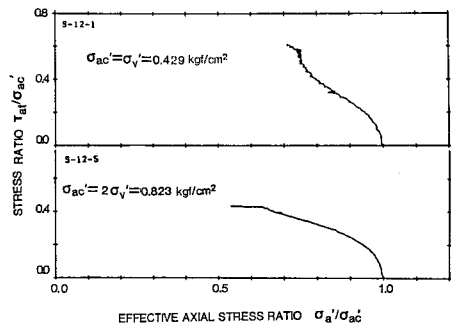


図-3(b) 試験結果(有効応力経路)

得られた $\varepsilon_1 = 15\%$ または $\varepsilon_1 - \varepsilon_3 = 22.5\%$ 時の軸差応力 $(\sigma'_1 - \sigma'_3)_{max}$ の $\frac{1}{2}$ の値を深さ方向の分布として示したもののが図-4である。この図によると、 $(\tau_{at})_{max}$ の値は、深度が深くなるにしたがいゆるかに増加しており、自然の傾向を示している。また、同じ深度における三軸圧縮試験(TC), 三軸伸張試験(TE)の軸差応力 $(\sigma'_1 - \sigma'_3)_{max}$ の $\frac{1}{2}$ を比較して場合、 $(\tau_{at})_{max}$ の値は、TCとTEの値の間の値となっている。 $\sigma_{ac}' = 2\sigma_{vo}'$ の場合の $(\tau_{at})_{max}$ の値は、 $\sigma_{ac}' = \sigma_{vo}'$ の場合の 1.37~1.53 倍であり、図-3(b)に示すように原位置での試料の状態が若干過圧密であると考えられる。

ねじりせん断試験から得られたせん断応力 $(\tau_{at})_{max}$ は、応力のモール円で示した場合、図-5(b)となる。三軸試験から得られる最大せん断応力 $\tau_{max} = (\sigma'_1 - \sigma'_3)_{max}/2$ とねじりせん断試験の τ_{max} を比較する場合には、 $(\tau_{at})_{max}$ と有効応力 (σ'_a, σ'_r) を用いて $\tau_{max} = \sqrt{\frac{(\sigma'_a - \sigma'_r)}{2}} + (\tau_{at})_{max}^2$ で求めた τ_{max} によって比較することが可能である。

また、すべり面上のせん断応力の最大値 τ_f を求める場合、すべり面を有効応力の最大傾斜角の面であると定義すると三軸試験での τ_f は、 $\tau_f = \tau_{max} \cdot \cos \phi'$ である。一方、単純せん断試験では測定した最大せん断応力を τ_f としているが、ねじりせん断試験では、有効応力 (σ'_a, σ'_r) を測定できないため、 τ_f も三軸試験と同様にて $\tau_f = \tau_{max} \cdot \cos \phi'$ で求めることが可能である。

τ_{max} を用いた各種試験の非排水せん断強度の比較については、文献4)を参照。

(謝辞) 本研究は東京学生技術研究所によるものであり、試験装置、データ等は同研究所の試作工場で製作して貰いました。また、試験を行なった山田真一助手(現基礎地盤コンサルタント)に御指導、御助言を賜り衷心感謝の意を表します。

(参考文献)

- 1) 原山田: 土質せん断試験機の設計と製作-応力荷重制御と測定-1-, 地質調査1984年6月号pp.45~51
- 2) 佐藤浩二: 二方向ロードセルの試作とその特性, 土木学会第48回年次学術講演会III-143, pp.285~286, 1983年
- 3) 原山田: テーパー剛体非排水せん断試験における心材内側の強度評価, 1985年土質試験技術講習会
- 4) 原山田: 高密度地盤からの採取した砂の粘土非排水せん断強度, 土質調査1986年6月号

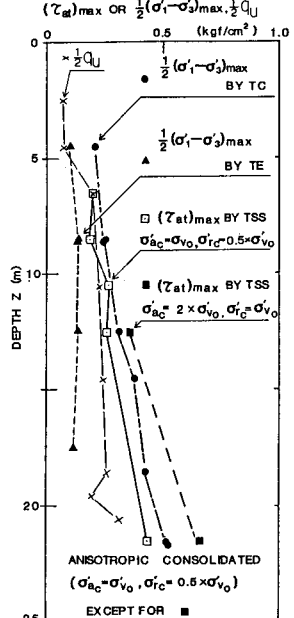
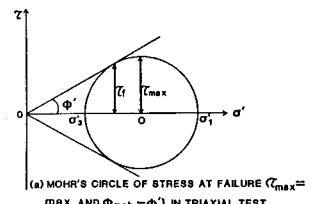
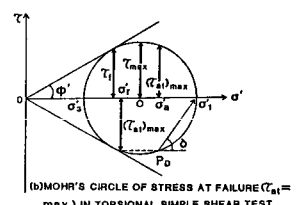


図-4 各種試験のせん断強度



(a) MOHR'S CIRCLE OF STRESS AT FAILURE $\tau_{max} = max.$ AND $\Phi_{Mohr} = \phi'$ IN TRIAXIAL TEST.



(b) MOHR'S CIRCLE OF STRESS AT FAILURE $\tau_{max} = max.$ IN TORSIONAL SIMPLE SHEAR TEST.

図-5 応力のモール円